

JP-7 К

А. И. Карпов
Лаборатория журнала «Радиофронт»

Разработанный лабораторией журнала «Радиофронт» супергетеродин JP-7 К (любительская радиола 7-ламповая консольная) отличается от ранее описанных суперов, сконструированных лабораторией Р. Ф. (РФ-7, ЛС-6, РФ-XV) применением предварительного каскада усиления высокой частоты.

Каскад усиления высокой частоты в современных супергетеродинах применяется для уменьшения собственных шумов в супере и для повышения избирательности приемника, главным образом, от помех «зеркального» приема.

Усиление, даваемое высокочастотным каскадом на коротких волнах, сравнительно мало и дает ощущительные результаты при приеме станций средневолнового и длинноволнового диапазонов.

Собран приемник в ящике консольного типа, вверху которого помещается граммофонное устройство; в середине на полке находится приемник, а внизу — динамик. По бокам динамика сделаны ящики для хранения пластиночек.

Общий вид приемника в собранном виде показан в заголовке статьи. Вид приемника сзади показан на рис. 1.

ПРИНЦИПИАЛЬНАЯ СХЕМА

Принципиальная схема супера изображена на рис. 2. Как видно из схемы, приемник представляет собой 7-ламповый всеволновый супергетеродин на металлических лампах.

В каскаде усиления высокой частоты работает пентод БК7 (L_1).

В качестве преобразователя и первого детектора применен пентагрид 6А8 (L_2).

В каскаде усиления промежуточной частоты включен пентод БК7 (L_3).

Второй детектор, автоматический регулятор громкости (АРГ) и предварительный каскад усиления низкой частоты работают на двойном диоде-триоде 6Г7 (L_4).

Оконечный каскад усиления низкой частоты собран на тетроде БЛ16 (L_5).

В выпрямителе включен кенотрон 5Л4С (L_6).

Индикатором настройки служит лампа 6Е5 (L_7).

Приемник имеет три диапазона волн.

Первый диапазон — короткие волны — от 15 до 51 м (20 000—5900 kHz). Второй диапазон — средние волны — от 190 до 750 м (1580—400 kHz). Третий диапазон — длинные волны — от 800 до 2000 м (375—150 kHz).

УСИЛИТЕЛЬ ВЫСОКОЙ ЧАСТОТЫ

Входная цепь усилителя высокой частоты состоит из ненастраиваемых катушек L_1 , L_2 , L_3 и настраиваемых катушек сетки L_4 , L_5 , L_6 , образующих антенный трансформатор.

Первичная обмотка трансформатора имеет

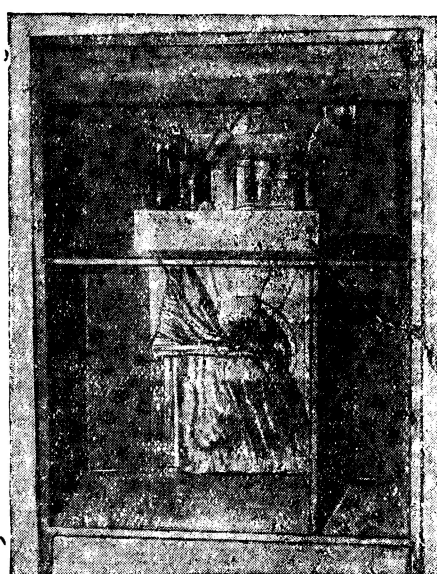


Рис. 1. Вид приемника сзади

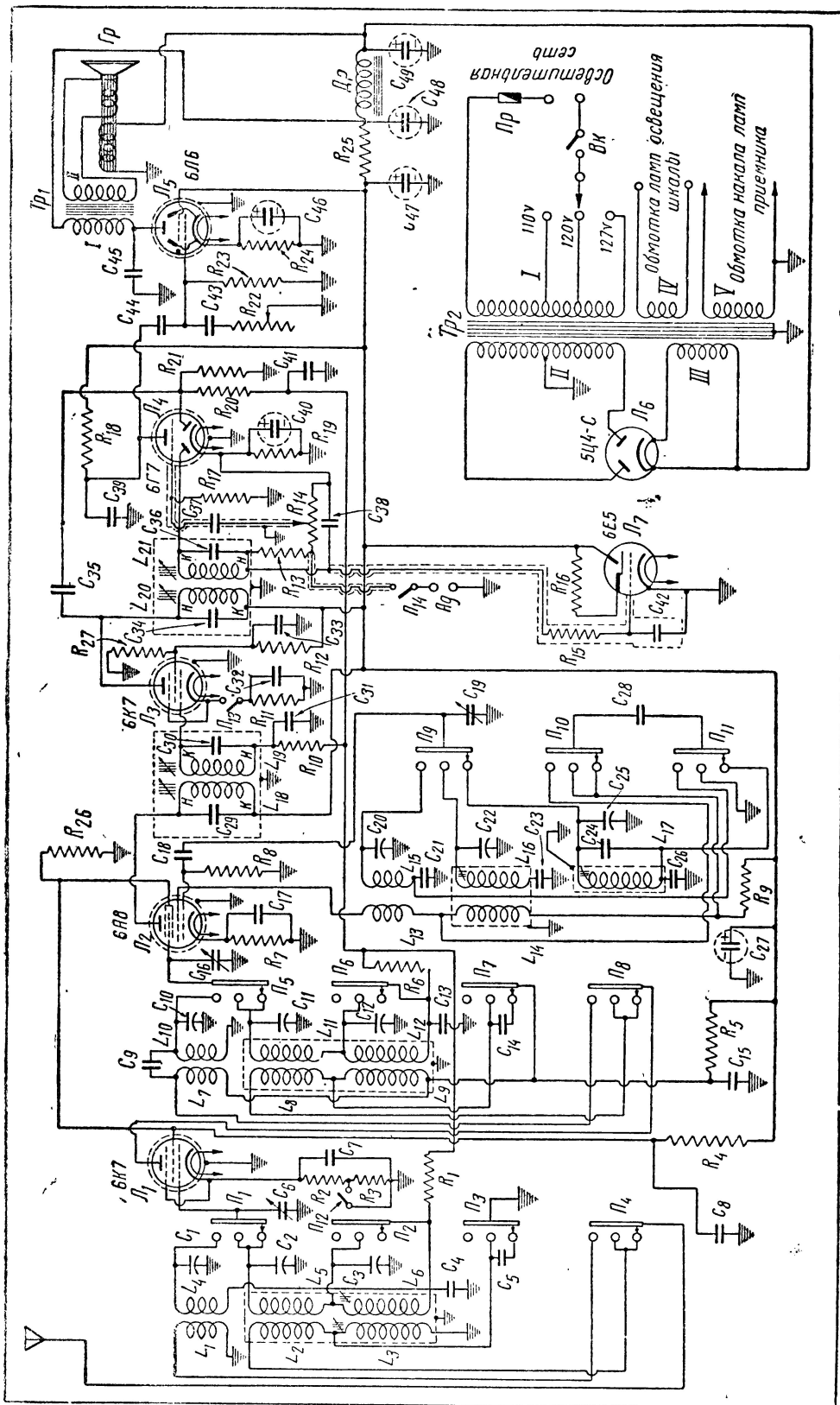
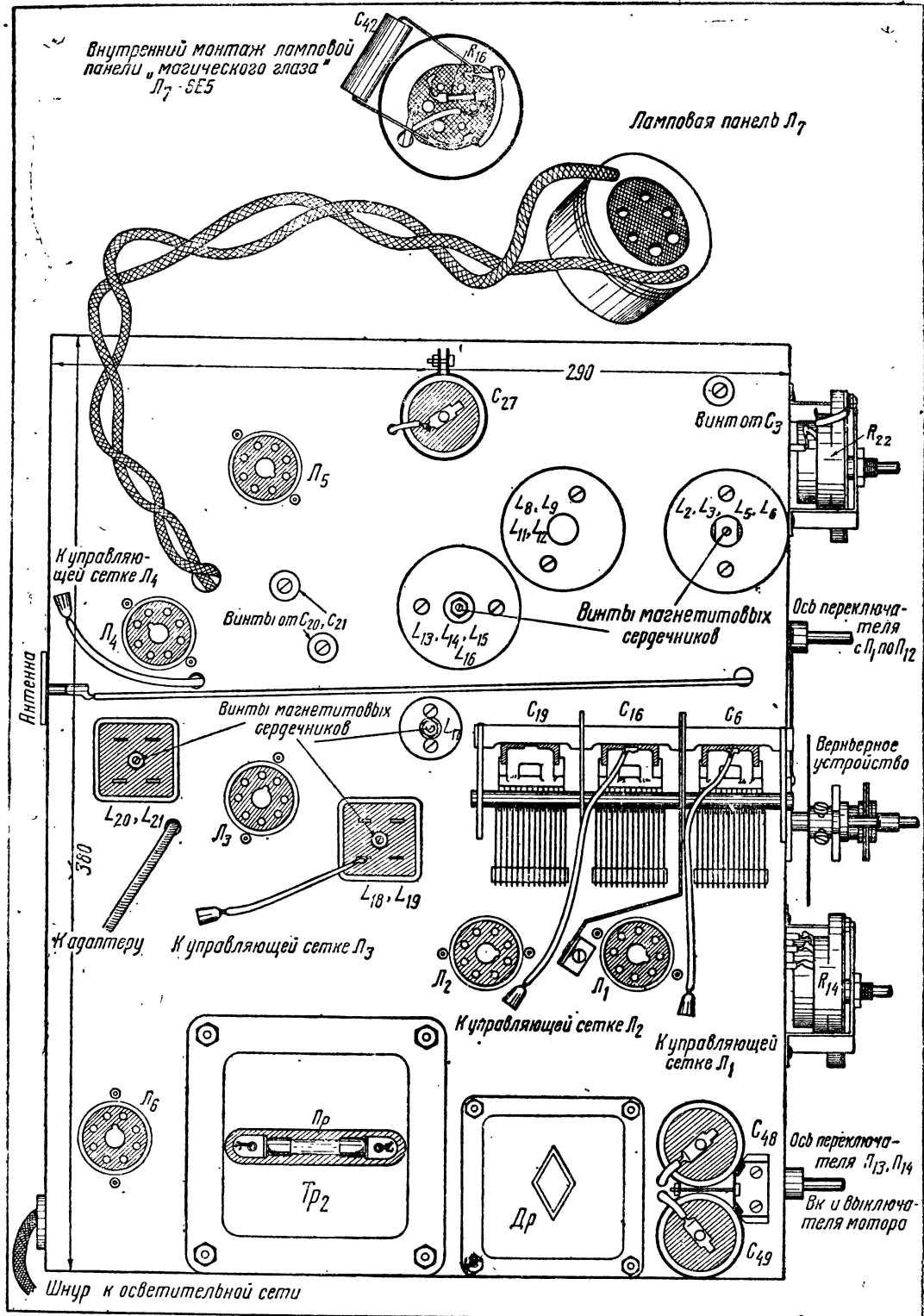


Рис. 2. Принципиальная схема приемника



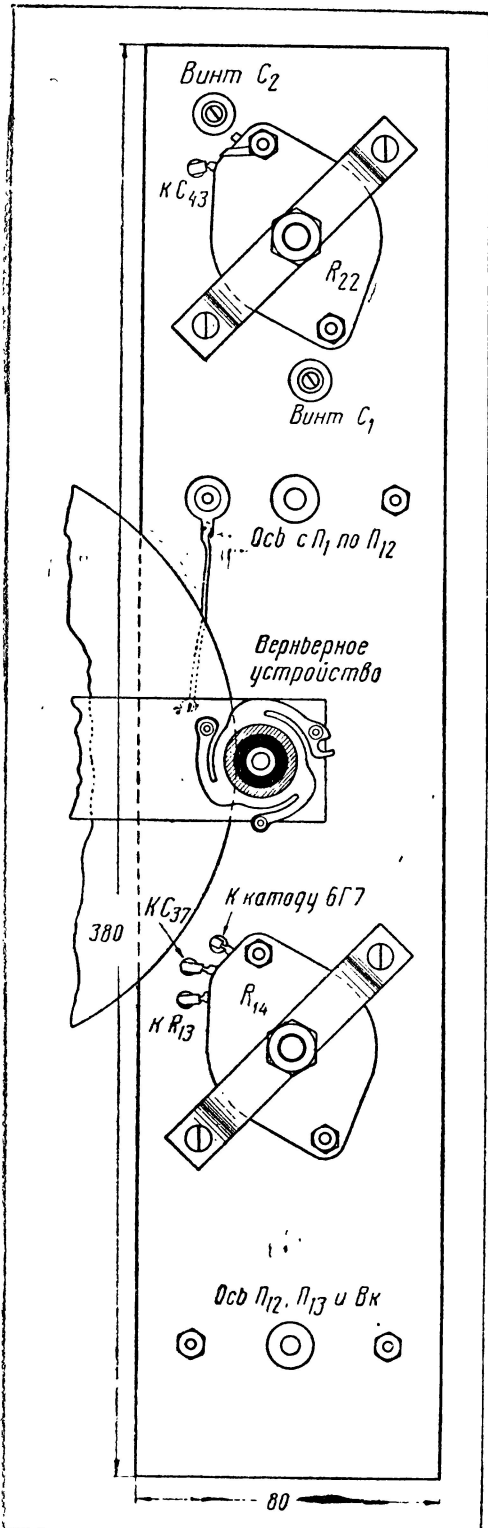


Рис. 4. Передняя стенка шасси

большую самоиндукцию, что способствует более равномерному усилиению по всему диапазону.

Вторичные обмотки трансформатора настраиваются на принимаемую станцию конденсатором переменной емкости C_8 . Полупеременные конденсаторы C_1 , C_2 и C_3 , приключенные параллельно катушкам L_4 , L_5 , L_6 , служат для подстройки контуров.

Положение переключателя диапазонов, изображенное на рис. 2, соответствует включению катушек на длинные волны. При этом в первичную обмотку трансформатора включены катушки L_2 , L_3 , соединенные последовательно; вторичная обмотка состоит из катушек L_5 , L_6 , соединенных последовательно. При переходе на средние волны катушки L_3 и L_6 закорачиваются, и в первичную обмотку включается катушка L_2 , а во вторичную — катушка L_5 .

При приеме коротких волн первичная обмотка антенного трансформатора состоит из катушки L_1 , а вторичная — из катушки L_4 .

Переключение катушек высокочастотного трансформатора, связывающего каскад усиления высокой частоты со смесительной лампой, происходит аналогичным образом. В этом трансформаторе на коротковолновом диапазоне для увеличения чувствительности приемника, кроме индуктивной, применена также емкостная связь при помощи конденсатора C_9 .

ПЕРВЫЙ ДЕТЕКТОР

В цепь управляющей сетки первого детектора (L_2) приключаются вторичные обмотки высокочастотного трансформатора (катушки L_{10} , L_{11} , L_{12}). Катушки имеют подстроечные конденсаторы C_{10} , C_{11} и C_{12} . Плавная настройка осуществляется при помощи переменного конденсатора C_{16} .

В лампе 6А8 две первые сетки используются в схеме гетеродина, причем первая от катода — в качестве управляющей сетки, а вторая — как анод гетеродина. В цепь сетки гетеродина при приеме коротких волн включается катушка L_{15} , при приеме средних волн — катушка L_{16} . Обратная связь на катушки сетки гетеродина при приеме коротких и средних волн осуществляется катушками L_{13} , L_{14} .

На длинных волнах сеточной катушкой гетеродина является катушка L_{17} , заключенная в отдельный экран. Обратная связь осуществляется через конденсатор C_{28} . При приеме длинных волн катушки L_{13} и L_{14} остаются включенными в анодную цепь гетеродина и этим несколько уравнивают напряжение, даваемое гетеродином на различных частотах длинноволнового диапазона.

В анодную цепь гетеродина включено сопротивление L_9 , поникающее напряжение, подаваемое на анод гетеродина.

В цепь сетки гетеродина включен гридилик, состоящий из конденсатора C_{18} и сопротивления R_8 .

Смешение приходящего сигнала с колебаниями гетеродина производится в смесительной лампе L_2 . В анодную цепь этой лампы включена первичная обмотка (L_{18}) первого трансформатора промежуточной частоты. Коле-

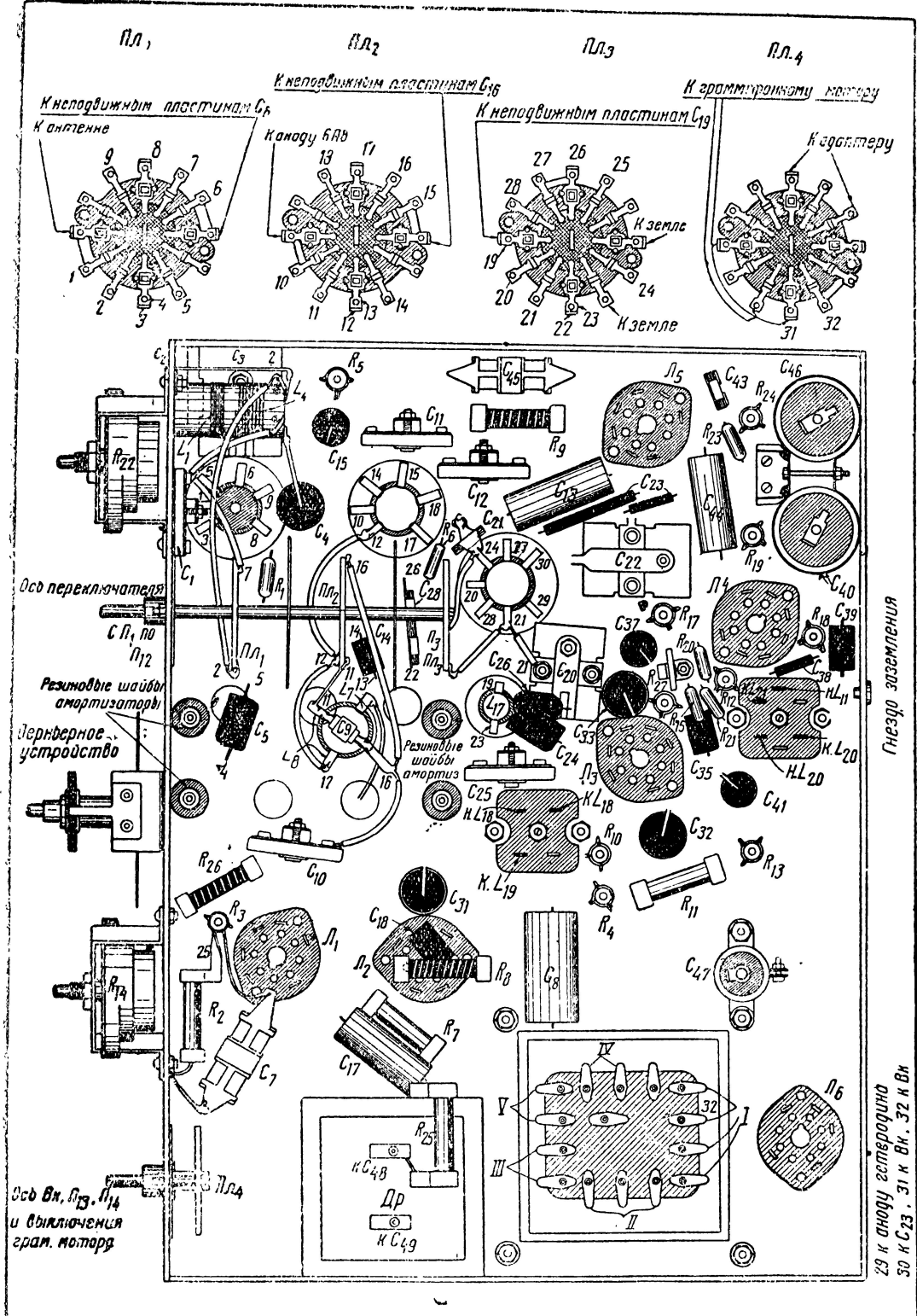


Рис. 5. Вид на шасси снизу

бания со вторичной обмотки этого трансформатора (L_{10}) подводятся к управляющей сетке лампы L_3 , в анодную цепь которой включен второй трансформатор промежуточной частоты (L_{20} , L_{21}), настроенный, как и первый трансформатор, на частоту в 460 kHz.

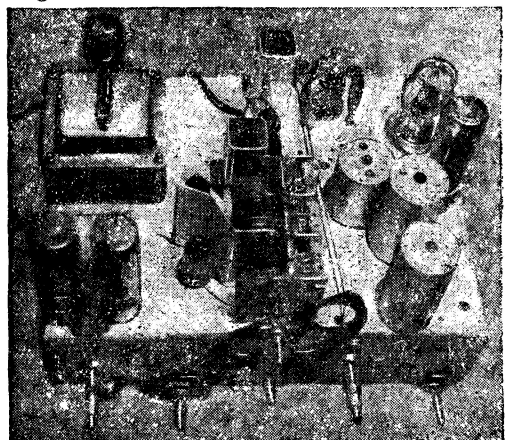


Рис. 6. Вид приемника сверху

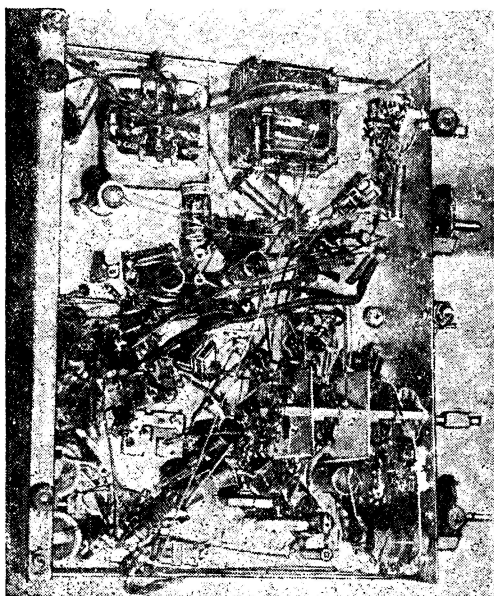


Рис. 7. Вид приемника снизу

ВТОРОЙ ДЕТЕКТОР, АРГ И ПРЕДВАРИТЕЛЬНОЕ УСИЛЕНИЕ НИЗКОЙ ЧАСТОТЫ

Со вторичной обмотки (L_{21}) трансформатора промежуточной частоты сигнала подводится для детектирования к левому аноду диода через нагрузку, состоящую из двух последовательно соединенных сопротивлений R_{13} , R_{14} , и отводится на катод лампы 6Г7. Выпрямленные колебания звуковой частоты снимаются с сопротивления R_{14} и подаются на управ-

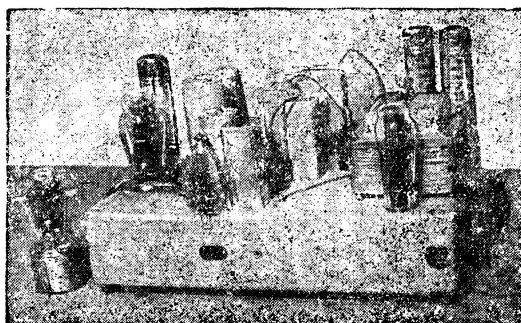


Рис. 8. Вид приемника сзади

ляющую сетку триодной части лампы 6Г7 через конденсатор C_{37} .

С правого диода снимается напряжение для задержанного АРГ, которое через развязывающие цепи подается на управляющие сетки усилителя высокой частоты, преобразователя и усилителя промежуточной частоты.

ОКОНЕЧНЫЙ КАСКАД УСИЛЕНИЯ НИЗКОЙ ЧАСТОТЫ

Звуковая частота, усиленная лампой каскада предварительного усиления 6Г7, поступает через емкость C_{44} на сетку оконечной лампы L_5 — 6Л6.

В цепь управляющей сетки лампы 6Л6 включен регулятор тона, состоящий из конденсатора C_{43} и переменного сопротивления R_{22} .

Анодной нагрузкой выходной лампы служит первичная обмотка выходного трансформатора от приемника СВД-9.

Во вторичную обмотку выходного трансформатора включен динамический громкоговоритель типа «Акустик».

ВЫПРЯМИТЕЛЬ

Выпрямитель приемника собран по двухполупериодной схеме. Тр-2 — силовой трансформатор типа ТС-100 с перемотанными вакалными обмотками для питания накала металлических ламп.

Фильтр выпрямителя — двухячеичный. Первая ячейка состоит из дросселя $Др$ и коя-

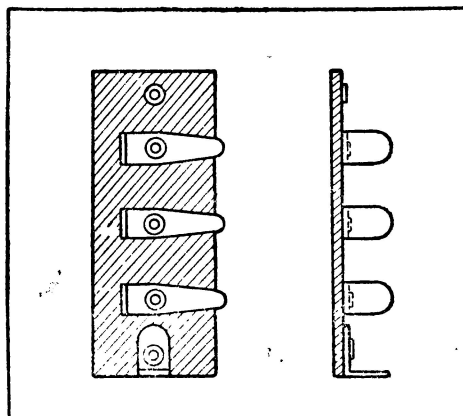


Рис. 9. Стоеки для монтажа

дисковых C_{48} , C_{49} , вторая — из сопротивления R_{25} и конденсатора C_{47} .

Обмотка подмагничивания динамика включена до дросселя.

КОНСТРУКЦИЯ И МОНТАЖ

Приемник смонтирован на шасси из железа толщиной 1,5 mm; размеры шасси даны на рис. 3, где показано размещение деталей на верхней части шасси. Высота шасси равна 80 mm. Передняя стенка шасси видна на рис. 4.

После обработки шасси в нем сверлятся отверстия и укрепляются детали. При закреплении деталей необходимо под гайки болтиков, крепящих эти детали, надевать контактные лепестки или кусочки монтажного провода с ушком для припайки подводимых к шасси проводов, так как припаивать их непосредственно к шасси очень трудно.

Расположение деталей и монтаж нижней стороны шасси показаны на рис. 5. На этом рисунке, чтобы не загромождать его, показан лишь монтаж деталей, входящих в коротковолновый диапазон. Размещение деталей на шасси и монтаж видны на рис. 6, 7 и 8. Заземленный провод должен подходить к каждому из переменных конденсаторов не от шасси, а от общего заземленного провода, идущего от гнезда «земля», чтобы избежать ближайших токов по всему шасси. Так как агрегат переменных конденсаторов амортизован резиновыми прокладками, то провод, заземляющий отдельные конденсаторы, должен подходить к каждому из них; его нельзя жестко припаивать к шасси.

Провода, показанные на принципиальной схеме в экране (пунктир), следует проложить в металлическом чулке.

Зажимы, крепящие электролитические конденсаторы, должны быть защищены с внутренней и внешней стороны, чтобы иметь хороший контакт как с оболочкой конденсатора, так и с шасси.

Провода, идущие к не жестко укрепленным деталям и к другим проводам, чтобы они не висели в воздухе, следует укрепить на изолированных стоечках с контактными лепестками (рис. 9 и 10). Такие стоечки от приемников 6Н-1 и СВД имеются в продаже.

ДЕТАЛИ

Большинство деталей, примененных в приемнике, — готовые фабричные.

Контурные катушки применены от приемника 6Н-1 (рис. 11—18). Кроме полного комп-

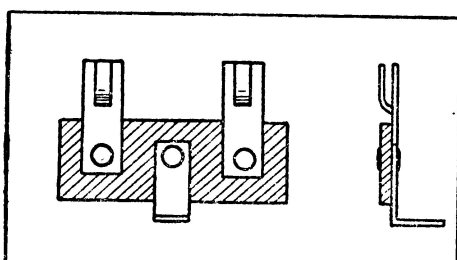


Рис. 10. Стоечки для монтажа

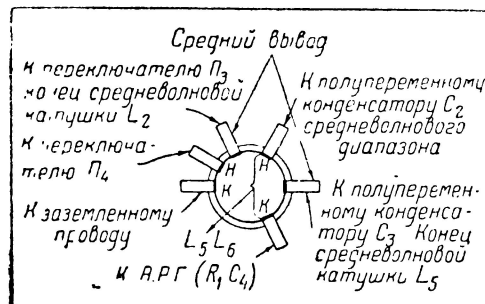


Рис. 11. Антennaя катушка средних и длинных волн L_2 , L_3 , L_5 , L_6

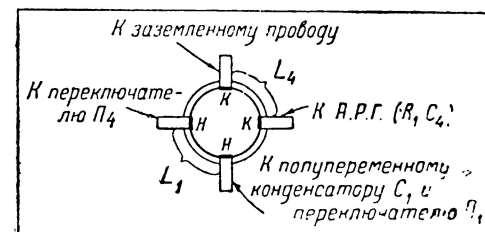


Рис. 12. Антennaя коротковолновая катушка L_1 , L_4

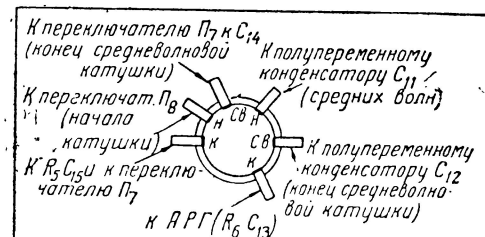


Рис. 13. Высокочастотный трансформатор, катушки L_8 , L_{11} (средние волны), L_9 , L_{12} (длинные волны)

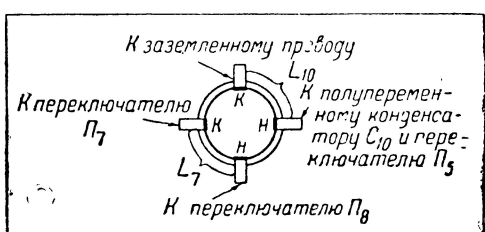


Рис. 14. Высокочастотный трансформатор L_7 , L_{10}

лекта катушек от 6Н-1 для каскада усиления высокой частоты необходимо приобрести второй комплект входных катушек от этого приемника (L_1 , L_6) и два магнетитовых сердечника диаметром в 12 mm.

Агрегат переменных конденсаторов можно взять от радиолы Д-11 или от автомобильного приемника АИ-668 и в крайнем случае конденсаторный агрегат КП-3 Одесского радиозавода.

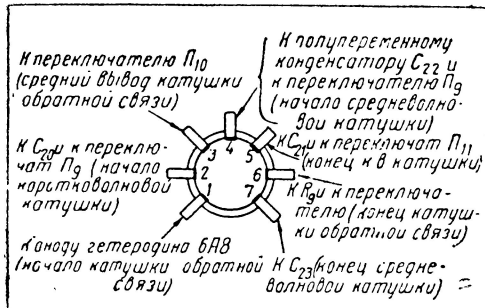


Рис. 15. Катушка гетеродина коротких и средних волн $L_{13}, L_{14}, L_{15}, L_{16}$

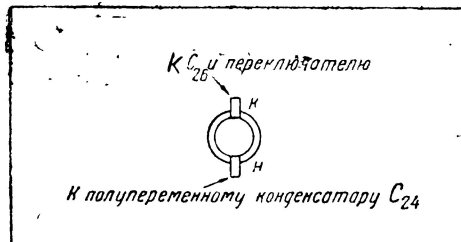


Рис. 16. Катушка гетеродина длинных волн L_{17}

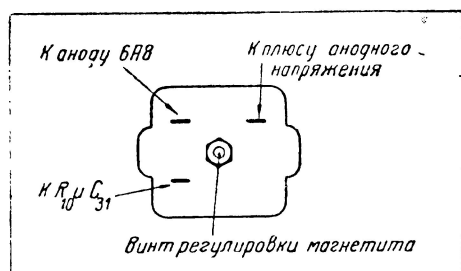


Рис. 17. I трансформатор промежуточной частоты L_{18}, L_{19}

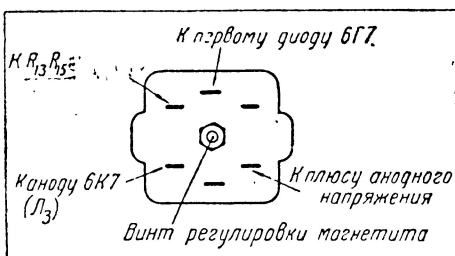


Рис. 18. II трансформатор промежуточной частоты L_{20}, L_{21}

Переключатель диапазонов Одесского радиозавода состоит из трех плат. Кроме того, необходим еще переключатель с одной платой для включения сети, адаптера и мотора радиолы (P_{13} , P_{14} и Вк).

Если не удается достать силовой трансформатор ТС-100, то можно воспользоваться силовыми трансформаторами типа ТС-6, СВД-М или СВД-9.

Дроссель фильтра — Одесского завода ДС-50. Выходной трансформатор T_{P1} — от приемника СВД-9. Трансформаторы пр. 2. — Типа 6Н-1.

ВЕЛИЧИНЫ ДЕТАЛЕЙ

Конденсаторы: C_1, C_2, C_3 — полупеременные от СВД до 30 μF ; C_4 — БИК — 0,1 μF ; C_5 — слюдяной 150 μF ; C_6 — переменный 12—550 μF ; C_7 — слюдяной 5500 μF ; C_8 — БИК — 0,1 μF ; C_9 — слюдяной 20 μF ; C_{10}, C_{11}, C_{12} — полупеременные от СВД до 30 μF ; C_{13} — БИК 0,1 μF ; C_{14} — слюдяной 70 μF ; C_{15} — БИК 0,1 μF ; C_{16} — переменный 12—550 μF ; C_{17} — БИК — 0,1 μF ; C_{18} — слюдяной 50 μF ; C_{19} — переменный 12—550 μF ; C_{20} — полупеременный от СВД до 30 μF ; C_{21} — слюдяной 4500 μF ; C_{22} — полупеременный от СВД — до 30 μF ; C_{23} — слюдяной 450 μF ; C_{24} — слюдяной 70 μF ; C_{25} — полупеременный от СВД до 30 μF ; C_{26} — слюдяной 180 μF ; C_{27} — электролитический 10 μF ; C_{28} — слюдяной 5500 μF ; C_{29} — слюдяной 120 μF ; C_{30} — слюдяной 120 μF ; C_{31}, C_{32}, C_{33} — бумажный БИК — по 0,1 μF ; C_{34} — слюдяной 120 μF ; C_{35} — слюдяной 150 μF ; C_{36} — слюдяной 120 μF ; C_{37} — БИК — 0,1 μF ; C_{38} — слюдяной 200 μF ; C_{39} — слюдяной 200 μF ; C_{40} — электролитический 20 μF ; C_{41} — бумажный БИК — 0,1 μF ; C_{42} — бумажный 40 000 μF ; C_{43} — слюдяной 5500 μF ; C_{44} — бумажный 0,1 μF ; C_{45} — слюдяной 5500 μF ; C_{46} — электролитический 20 μF ; C_{47} — электролитический по 10 μF .

Сопротивления: R_1 — 100 000 Ω ; R_2 — 250 Ω ; R_3 — 1500 Ω ; R_4 — 12 000 Ω ; R_5 — 2000 Ω ; R_6 — 100 000 Ω ; R_7 — 300 Ω ; R_8 — 50 000 Ω ; R_9 — 10 000 Ω ; R_{10} — 100 000 Ω ; R_{11} — 300 Ω ; R_{12} — 50 000 Ω ; R_{13} — 120 000 Ω ; R_{14} — 400 000 Ω ; R_{15} — 1 $M\Omega$; R_{16} — 1 $M\Omega$; R_{17} — 0,5 $M\Omega$; R_{18} — 0,25 $M\Omega$; R_{19} — 14 000 Ω ; R_{20} — 0,5 $M\Omega$; R_{21}

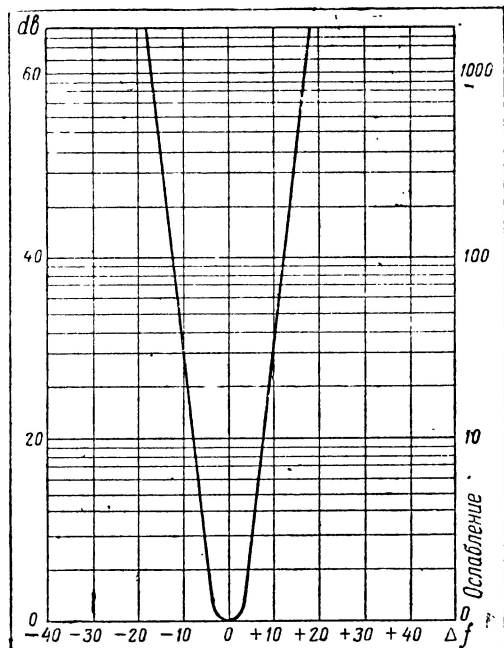


Рис. 19. Кривая избирательности приемника

Название ламп	Анодное напряжение V	Напряжение на экранной сетке V	Напряжение на управляющей сетке V	Напряжение на аноде гетеродина V
$L_1 - 6K7$	250	120	-3 и -15 *	—
$L_2 - 6A8$	250	100	-3	90
$L_3 - 6K7$	250	120	-3	—
$L_4 - 6F7$	100	—	-1,5	—
$L_5 - 6L6$	315	250	-16	—

* При приеме средних и длинных волн.

$0,5 \text{ M}\Omega$; $R_{22} = 0,35 \text{ M}\Omega$, $R_{23} = 0,5 \text{ M}\Omega$; $R_{24} = 440 \Omega$; R_{25} 2 шт. по 6000Ω в параллель; $R_{26} = 13\,000 \Omega$; $R_{27} = 50\,000 \Omega$.

НАЛАЖИВАНИЕ ПРИЕМНИКА

Налаживание супергетеродина следует вести в строгой последовательности.

До самого налаживания супергетеродина следует:

а) провести проверку монтажа по принципиальной схеме;

б) проверить и подогнать режим ламп всех каскадов согласно ориентировочным режимам ламп, приведенным в таблице.

вольтметр. Он приключается ко вторичной обмотке выходного трансформатора, т. е. параллельно звуковой катушке динамика.

При отсутствии такого вольтметра индикатором резонанса может служить лампа 6ББ. По наибольшему схождению краев светящегося экрана этой лампы можно судить о резонансе.

После настройки трансформаторов промежуточной частоты настраивается гетеродин на нужные диапазоны частот. Затем настраиваются в резонанс контуры сначала первого детектора, а затем каскада усиления высокой частоты. Сопряжение контуров получается при

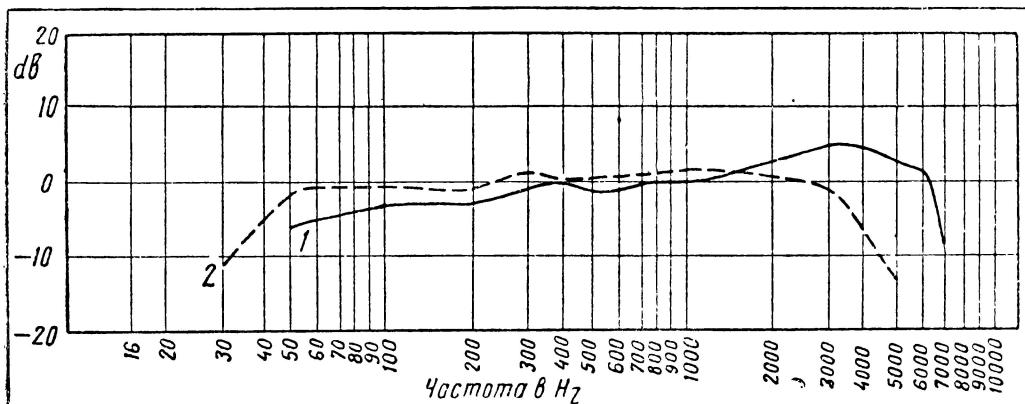


Рис. 20. Частотная характеристика (1) и кривая верности (2)

Само налаживание приемника следует вести в следующем порядке: сначала налаживается низкочастотная часть приемника при работе от адаптера.

После этого настраивается по тест-сигналу (гетеродину) сначала второй, а затем первый трансформатор промежуточной частоты на заданную частоту. В нашем случае она будет равна 460 kHz.

Индикатором точной настройки трансформаторов промежуточной частоты, а также и резонанс всей высокочастотной части супергетеродина может служить включенный на выходе приемника катодный или купроксный

применении указанных катушек и сопрягающих конденсаторов.

Отклонение от данных величин емкостей сопрягающих конденсаторов должно быть неизначительное.

При подгонке резонанса на коротких волнах связь между катушками L_7 и L_{10} оказалась недостаточной. Поэтому анодную катушку L_{10} пришлось увеличить вдвое, т. е. добавить еще 32 витка проволокой ПЭ 0,13, в связь сделать индуктивно-емкостной при помощи конденсатора C_9 ($20 \mu\text{F}$).

В заключение приводим результаты электрических испытаний приемника.

При проведении всех измерений описываем

мого супергетеродина на выходе приемника поддерживалась:

- 1) заданная выходная мощность, равная ~ 50 mW;
- 2) модулирующий сигнал на частоте в 400 Hz;
- 3) глубина модуляции, равная 30%;
- 4) приведенная нагрузка, равная 2850 Ω.

ЧУВСТВИТЕЛЬНОСТЬ

После того как приемник был построен и все контуры были настроены в резонанс, оказалось, что чувствительность приемника в большем участке средневолнового и длинноволнового диапазона очень велика. Поэтому чувствительность приемника преднамеренно была занижена, для чего на средних и длинных волнах приключалось дополнительное сопротивление R_3 в катод лампы L_1 , задающее большое отрицательное смещение на сетку этой лампы. В результате была получена чувствительность приемника в следующих величинах:

- 1) на длинных волнах на участке частот от 191,25 до 307,70 kHz — от 8 до 15 μ V.
- 2) на средних волнах на участке частот от 1500 до 555 kHz — от 2 до 18 μ V;

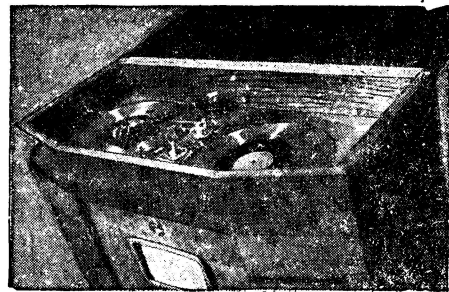


Рис. 22. Вид на радиольную часть приемника

ном масштабе, а по оси ординат — ослабление в 10, 100 и 1000 раз, что соответствует 20, 40, 60 db.

Среднее ослабление соседнего канала:

- 1) на коротких волнах — отношение зеркального канала к основному 10 (20 db);
- 2) на средних волнах — 30 000 (~90 db);
- 3) на длинных волнах — 100 000 (~100 db).

ЧАСТОТНЫЕ ХАРАКТЕРИСТИКИ

На рис. 20 изображены частотная характеристика по низкой частоте при работе с адаптером 1 и характеристика верности всего тракта 2.

ОФОРМЛЕНИЕ

Конструкция описываемого нами супергетеродина оформлена в виде консольной радиолы. Предполагаемая консольная конструкция может быть изменена любителем в зависимости от его вкусов. Размеры ящика приведены на рис. 21. Вид на ящик сверху изображен на рис. 22.

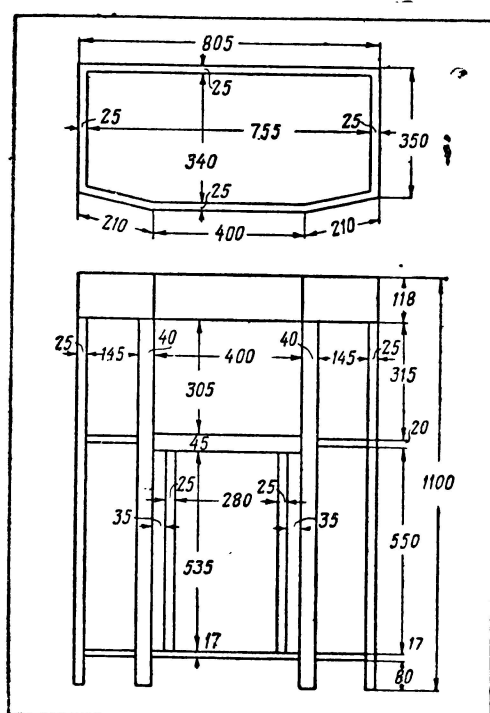


Рис. 21. Размеры ящика приемника

- 3) на коротких волнах на участке частот от 5,5 до 19 MHz — от 5 до 22 V.

СЕЛЕКТИВНОСТЬ

На рис. 19 изображена кривая селективности (избирательности) приемника, где на оси абсцисс отложена расстройка Δf в линей-